

# INTRODUZIONE

Sistema disordinato: assenza di ordine a lungo raggio

1) Sistemi di particelle

$$H = K(\{\vec{v}_i\}) + U(\{\vec{r}_i\}) \leftarrow \text{dofs posizionali}$$

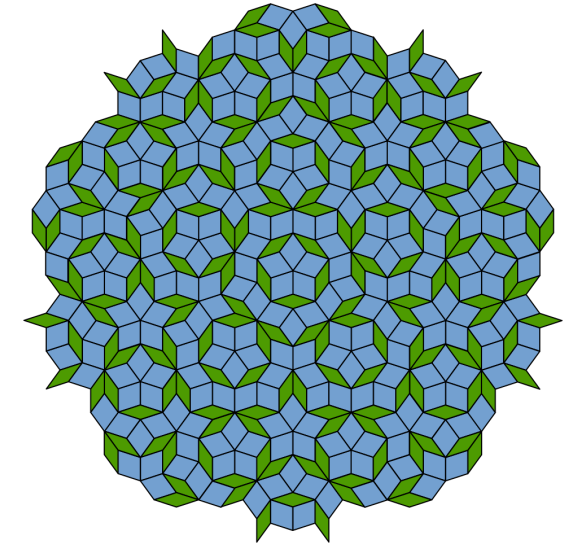
→ ordine periodico

→ ordine quasi-cristallo (180)

cristallino → spettro di diffrazione discreto



honeycomb 2d



tassellazione di Penrose

2) Sistemi di spin su reticolo (es. magnetismo)

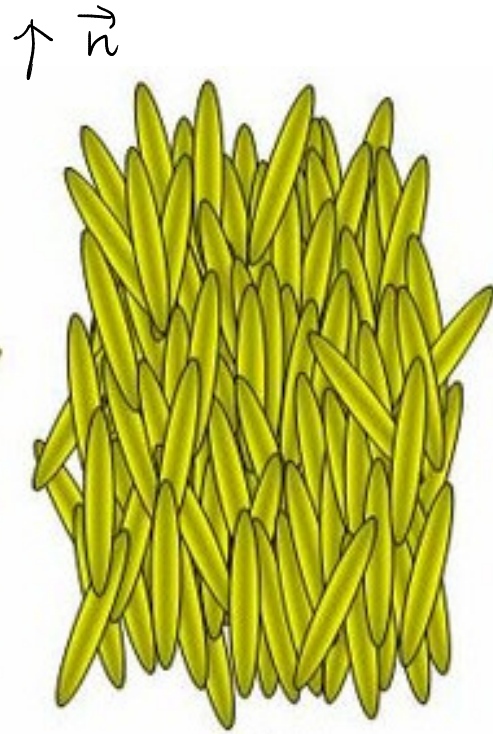
$$H = H(\{\vec{\sigma}_i\}) \leftarrow \text{dofs orientazionali} \quad \uparrow \uparrow \dots \uparrow \uparrow \dots$$

3) Ibridi  $\{\vec{r}_i\} + \{\vec{\sigma}_i\}$

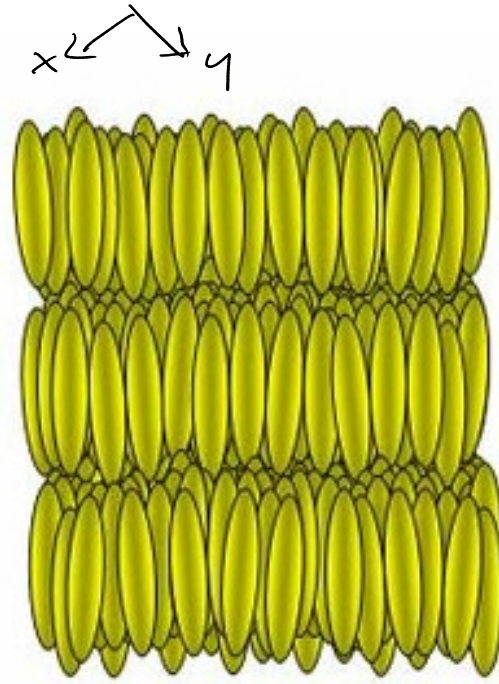
- cristalli liquidi
- particelle in 2d



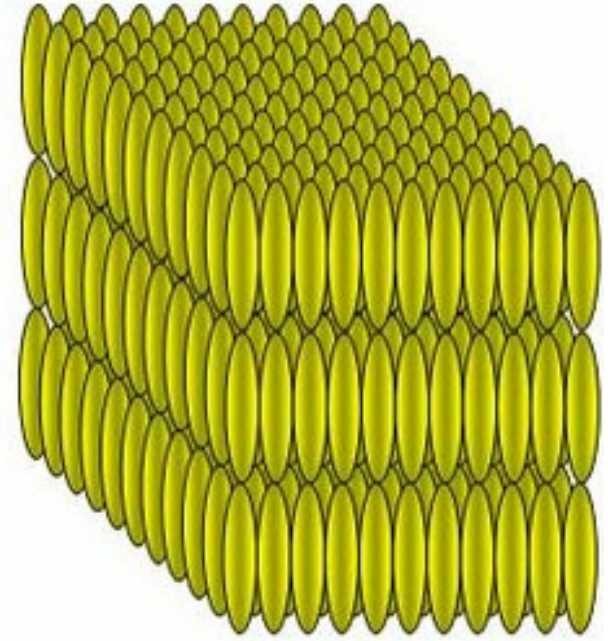
isotropia



nematica



smectic



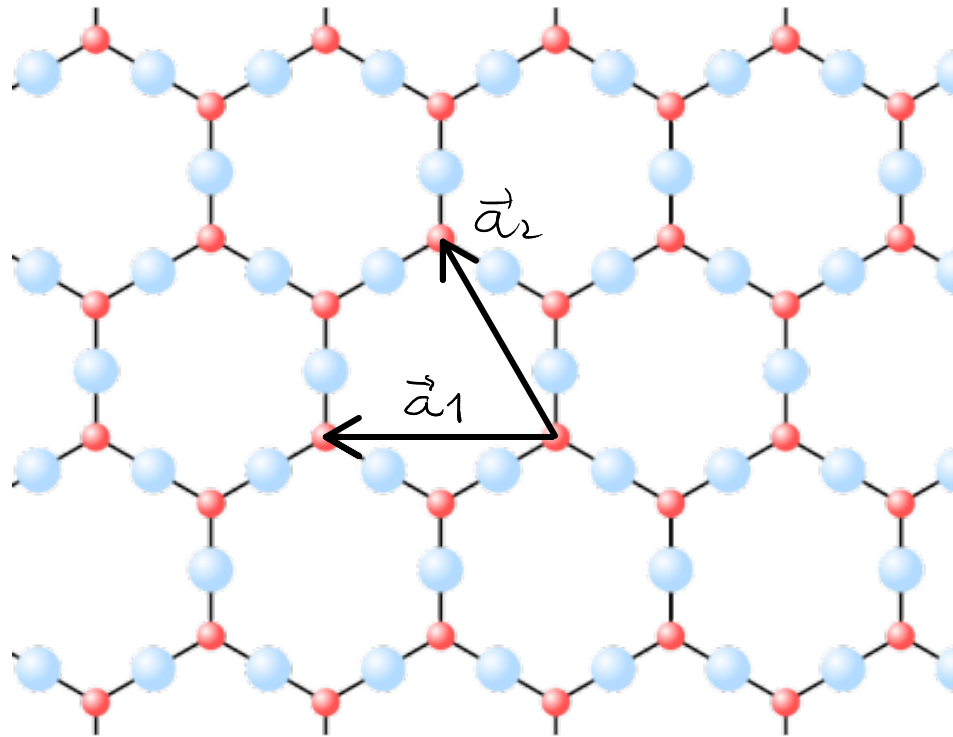
cristallo

# SIMMETRIE E FASI DELLA MATERIA

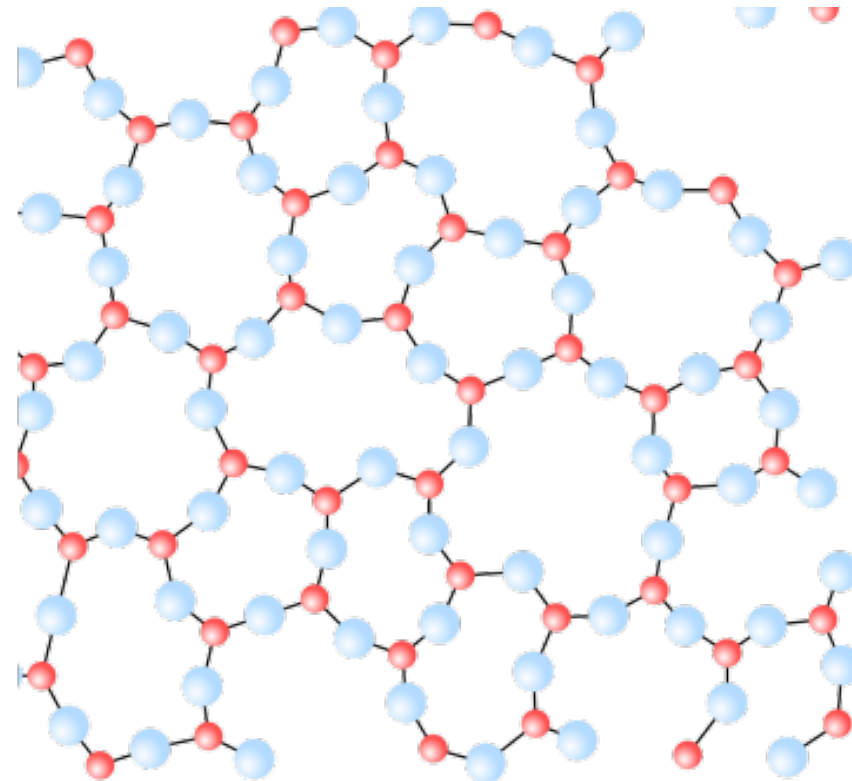
1) Configurazione ( sistema di particelle )

Simmetria per traslazione discreta

$$T: \vec{r} \longrightarrow \vec{r} + l_1 \vec{a}_1 + l_2 \vec{a}_2 \quad l_1, l_2 \in \mathbb{Z}$$



reticolo periodico



amorfo

2) Funzioni  $F(\{\vec{F}_i\})$

simmetrica rispetto a  $T$  se  $F(\{\vec{F}_i\}) = F(T(\{\vec{F}_i\}))$

Hamiltoniana possiede simmetria  $T$  se  $H(\{\vec{F}_i\}) = H(T(\{\vec{F}_i\}))$

Es: modello possiede simmetria per traslazione continua

$$T: \vec{F} \rightarrow \vec{F} + \vec{R} \quad \vec{R} \in \mathbb{R}^3 \quad \forall \vec{F}_i$$

$$H(T(\{\vec{F}_i\})) = H(\{\vec{F}_i\})$$

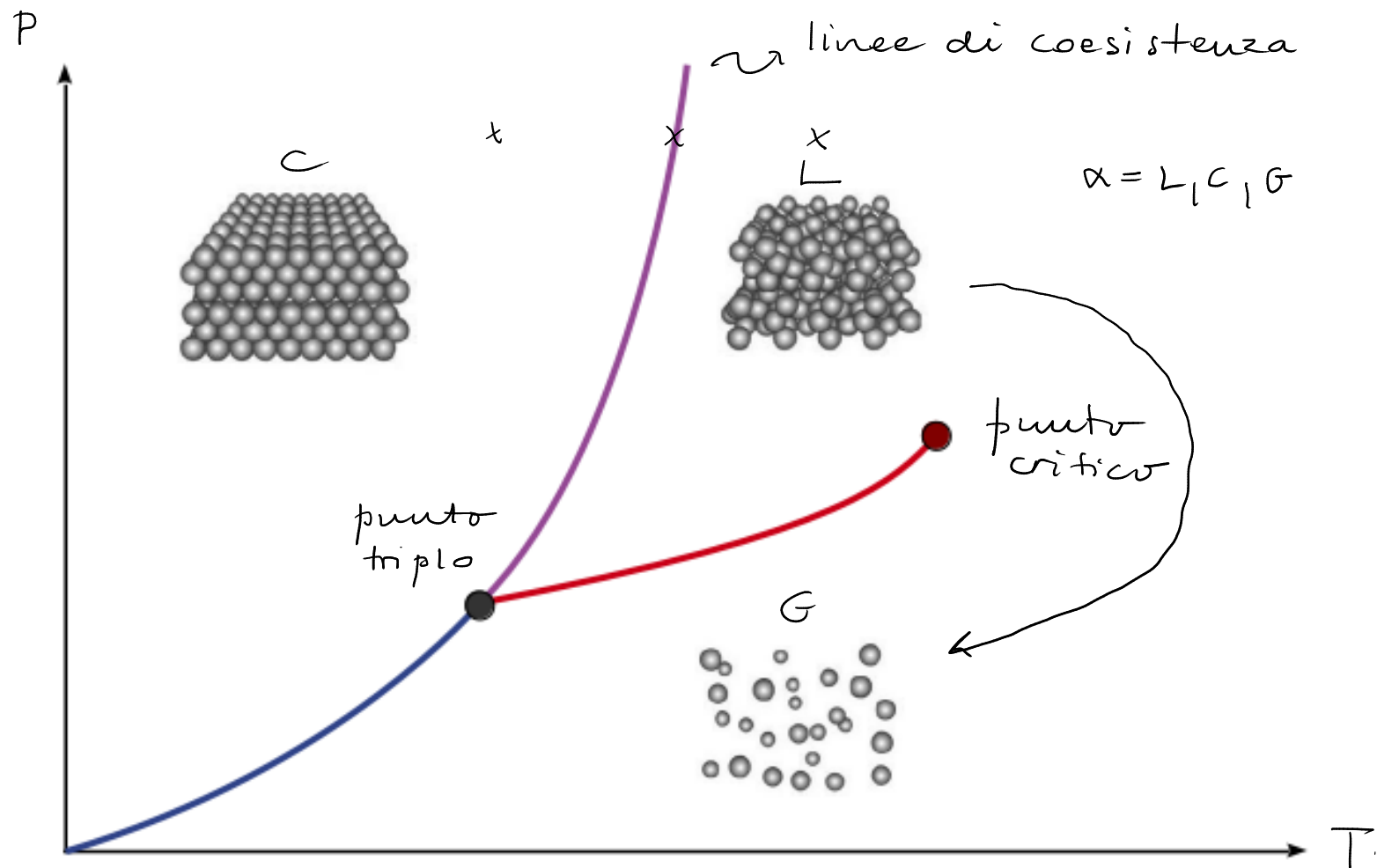
Simmetrie globali

3) Fase (stato)

Sottoinsieme di microstati compatibili con i vincoli esterni (es,  $V, N, T$ )

proprietà macro omogenee

Diagramma di fase : gas rari (Ar, Ne, Kr, ...)



Media termica :  $F(\vec{r})$

$$\langle F(\vec{r}) \rangle_{\alpha} = \frac{\text{Tr}_{\alpha} [ e^{-\beta H} \hat{F}(\vec{r}) ]}{\text{Tr}_{\alpha} [ e^{-\beta H} ]}$$

Es.: densità locale

$$\langle g(\vec{r}) \rangle_{\alpha} \rightarrow \hat{g}(\vec{r}) = \sum_{i \neq j} \delta(\vec{r} - \vec{r}_{ij})$$

↑  
densità microscopica

$$H = K + U(\{\vec{r}_i\}) = K + \sum_{i=1}^N \sum_{j \neq i} u(\vec{r}_i - \vec{r}_j) \rightarrow \text{invariante per traslazione continua}$$

Densità locale  $\langle \rho(\vec{r}) \rangle_\alpha$

$$T : \vec{r} \rightarrow \vec{r} + \vec{R}$$

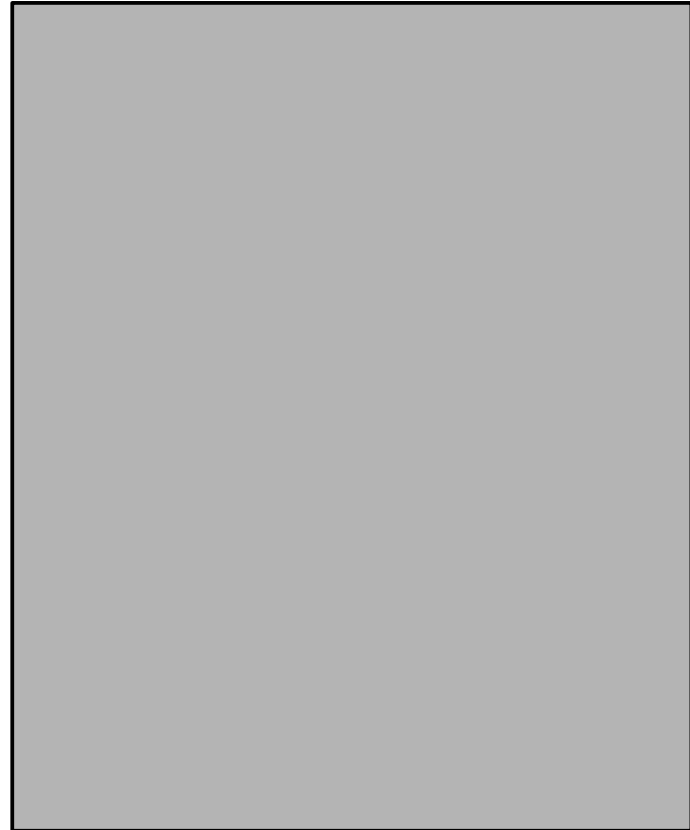
traslazione continua

$$T_e : \vec{r} \rightarrow \vec{r} + \vec{R}_e$$

traslazione discreta

$$\langle \rho(T(\vec{r})) \rangle_\alpha = \langle \rho(\vec{r}) \rangle_\alpha$$

$$\langle \rho(T_e(\vec{r})) \rangle_\alpha = \langle \rho(\vec{r}) \rangle_\alpha$$

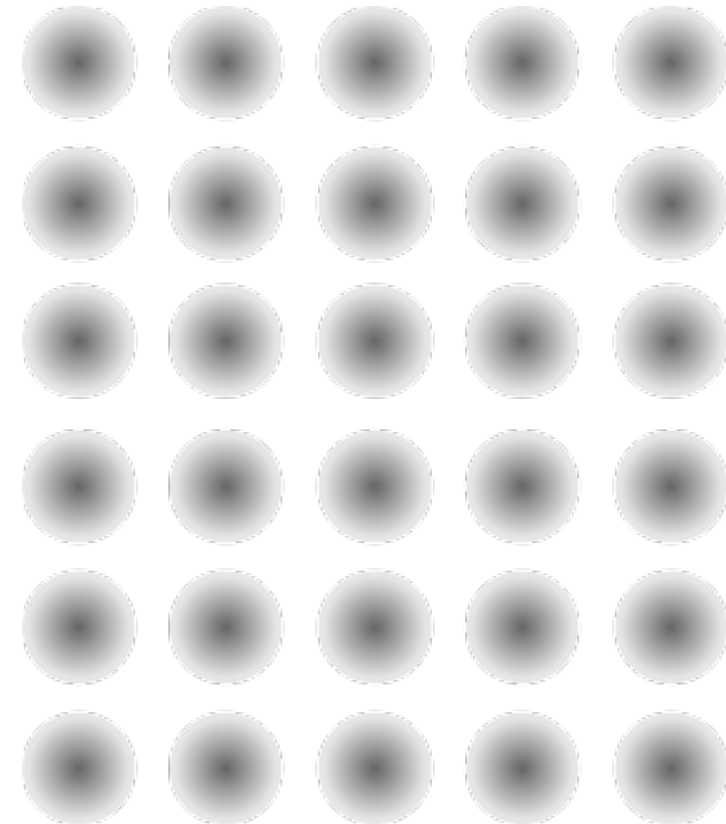


LIQUIDO  
GAS

→  
rottura  
spontanea  
di simmetria



ORDINE  
A LUNGO RAGGIO

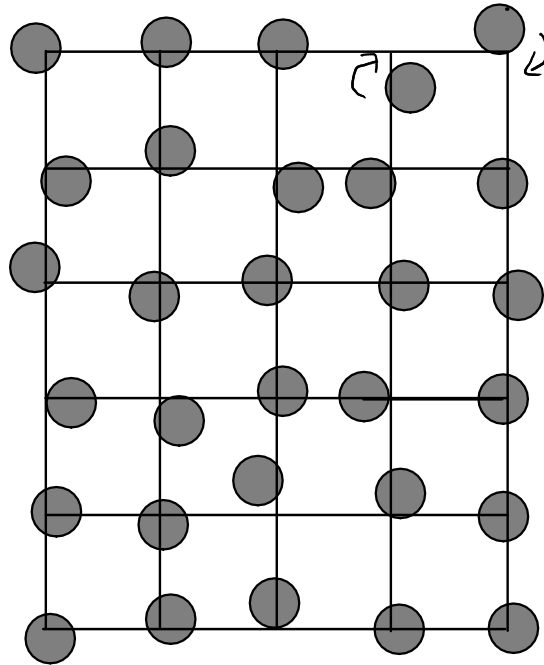


CRISTALLO

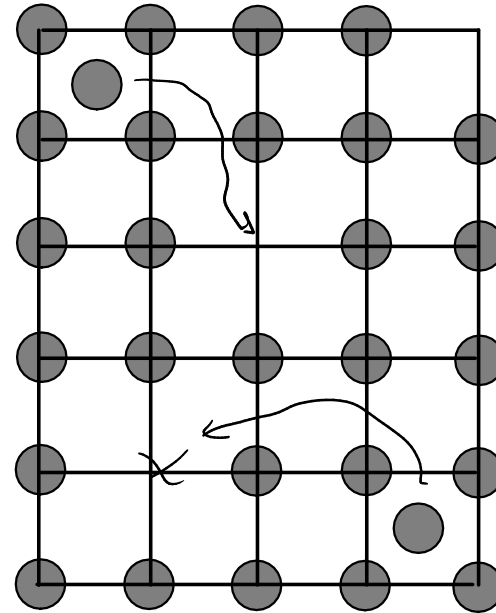
# TIPologie di DISORDINE

Casuale / aleatorio :  $n. \text{ defs} \gg 1$  , effetti termici  $\rightarrow$  entropia  $\triangle$

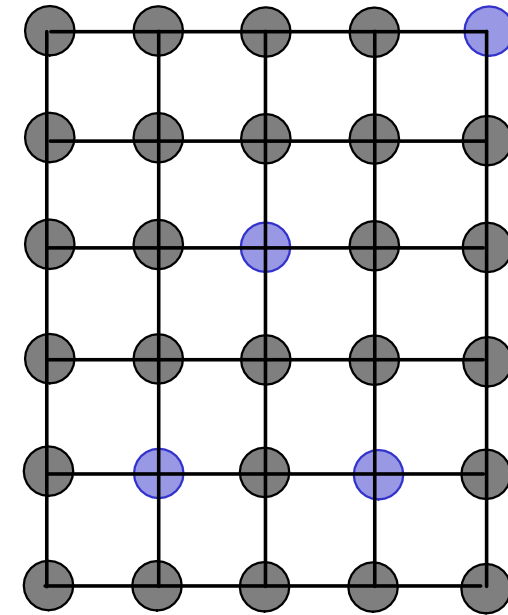
## Disordine sostituzionale



vibrazioni

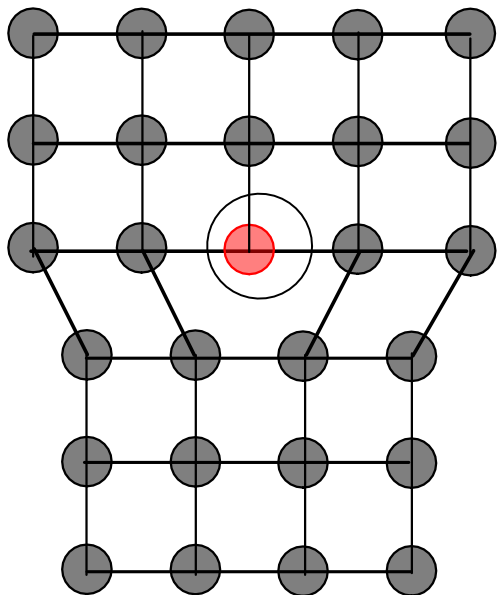


difetti  
vacanze  
interstiziali

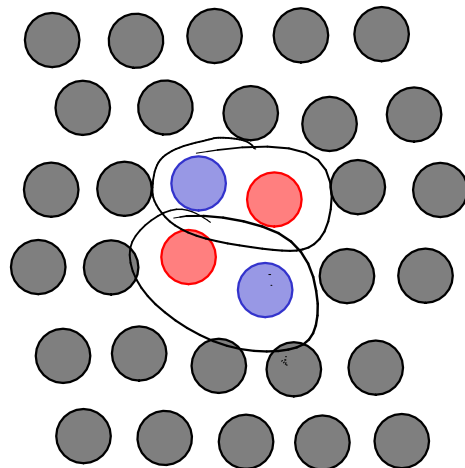


leghe metalliche

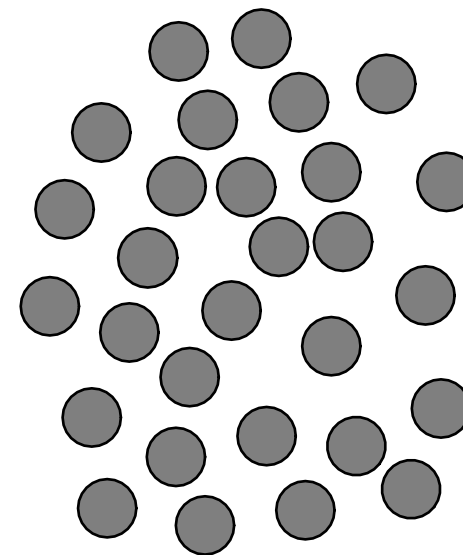
# Disordine topologico



dislocazione



coppia di  
dislocazioni



sistema  
amorfo



# Disordine gelato

sistemi porosi

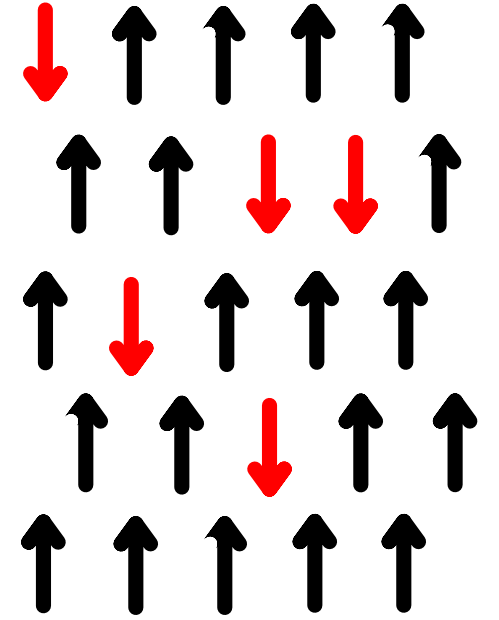
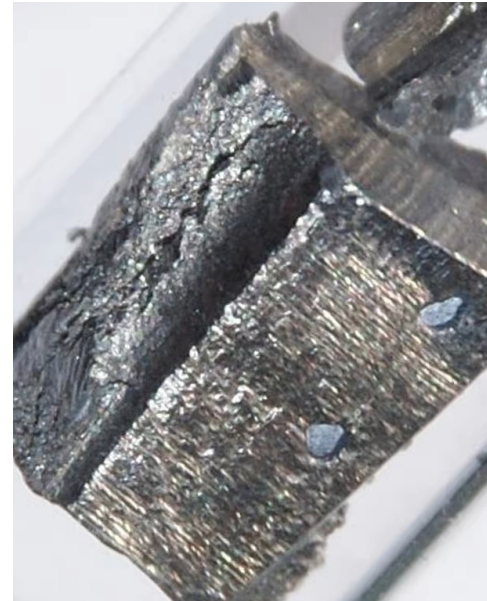


$$H = H_f(\{\tilde{r}_i\}) + H_{fm}(\{\tilde{r}_i\}_j, \{\tilde{r}_i^{(m)}\})$$

\_\_\_\_\_  $\in$  sul disordine  
 $\langle \dots \rangle \in$  termica

vetri di spiu

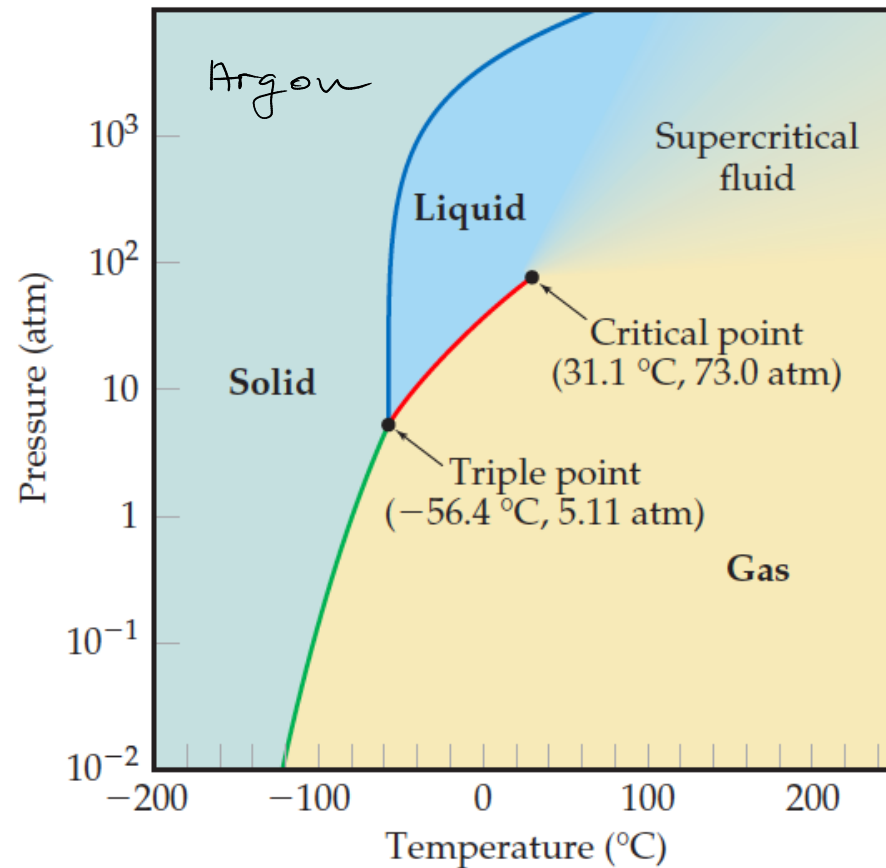
$\sigma_i = \pm 1$



Ising :  $H = -J \sum_{\langle ij \rangle} \sigma_i \sigma_j$   
 $\uparrow$   
 primi vicini

Edwards Anderson :  $H = - \sum_{\langle ij \rangle} J_{ij} \sigma_i \sigma_j$

$p(J_{ij})$  gaussiana spiu glass



## Evidence for a liquid-solid critical point in a simple monatomic system

Måns Elenius<sup>1,a)</sup> and Mikhail Dzugutov<sup>2</sup>

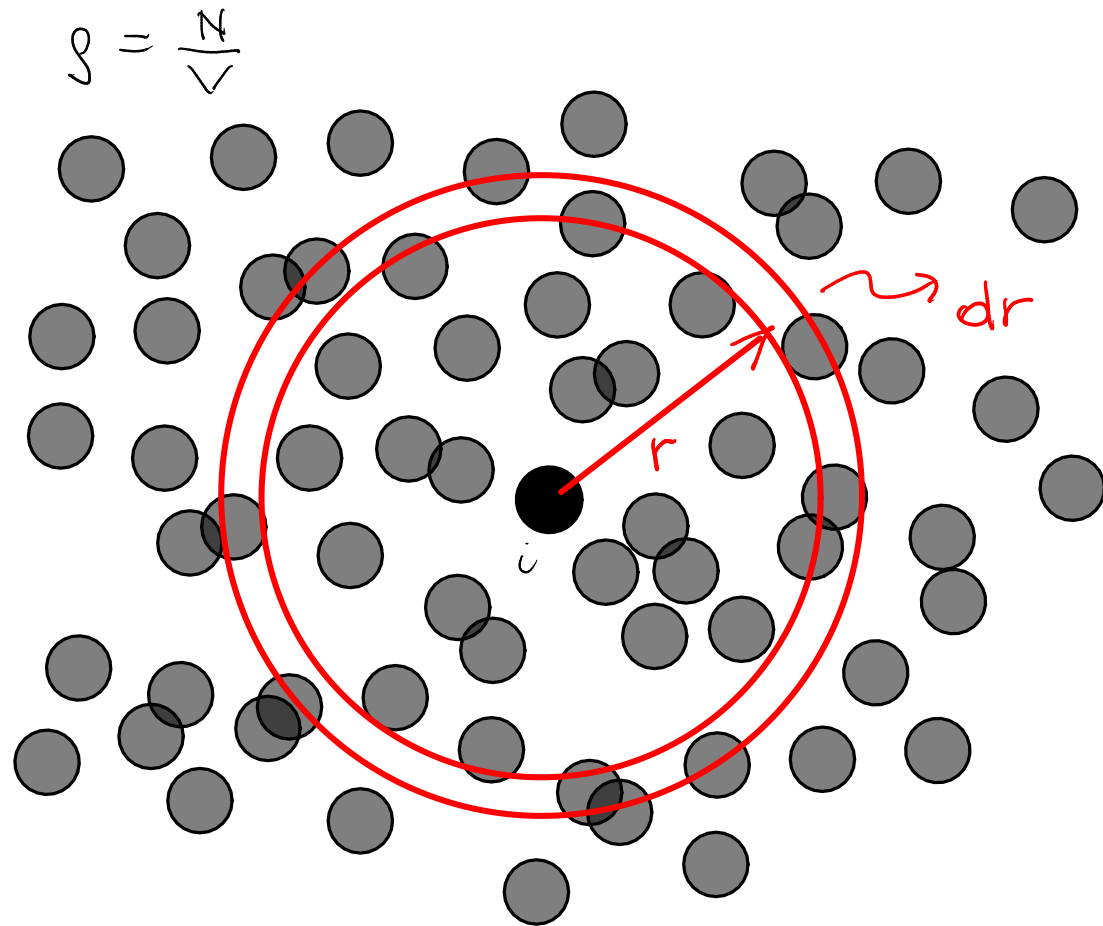
<sup>1</sup>Department of Numerical Analysis, Royal Institute of Technology, SE-100 44 Stockholm, Sweden

<sup>2</sup>Department of Materials Science and Engineering, Royal Institute of Technology, SE-100 44 Stockholm, Sweden

(Received 5 June 2009; accepted 10 August 2009; published online 8 September 2009)

It is commonly believed that the transition line separating a liquid and a solid cannot be interrupted by a critical point. This opinion is based on the traditional symmetry argument that an isotropic liquid cannot be continuously transformed into a crystal with a discrete rotational and translational symmetry. We present here a molecular-dynamics simulation of a simple monatomic system suggesting the existence of a liquid-solid spinodal terminating at a critical point. We show that, in the critical region, the isotropic liquid continuously transforms into a phase with a mesoscopic order similar to that of the smectic liquid crystals. We argue that the existence of both the spinodal and the critical point can be explained by the close structural proximity between the mesophase and the crystal. This indicates a possibility of finding a similar thermodynamic behavior in gelling colloids, liquid crystals, and polymers. © 2009 American Institute of Physics. [doi:10.1063/1.3213616]

# ORDINE E CORRELAZIONI



Funzione di distribuzione radiale  $g(r)$

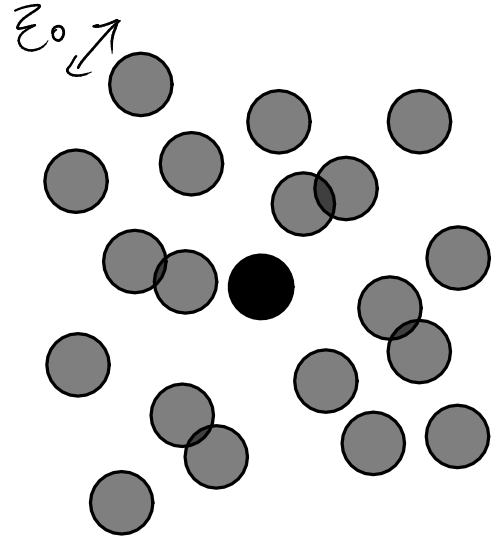
$$g(r) = \frac{\langle \frac{1}{N} \sum_{i=1}^N n_i(r) \rangle}{4\pi r^2 dr \cdot \rho}$$

← n. particelle a distanza compresa tra  $r$  e  $r+dr$  da  $i$

g.p.:  $g(r) = 1$

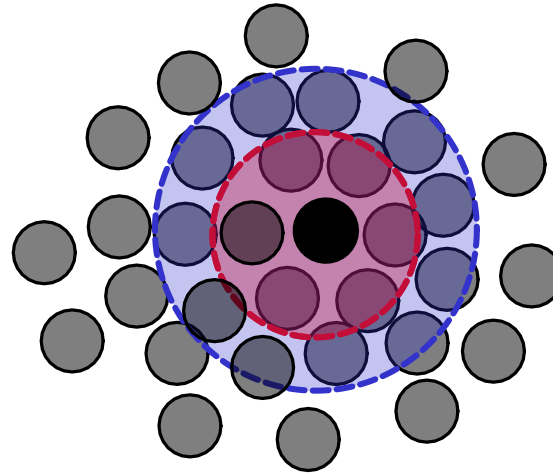
gas

corto raggio

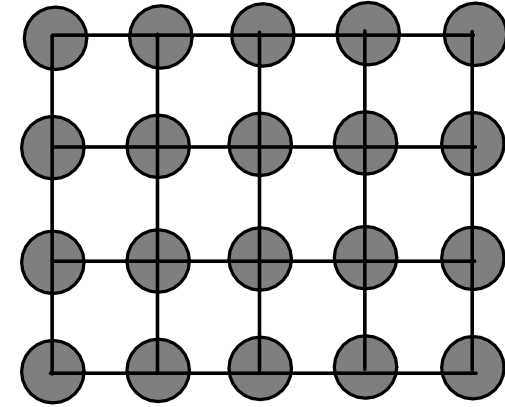


liquido

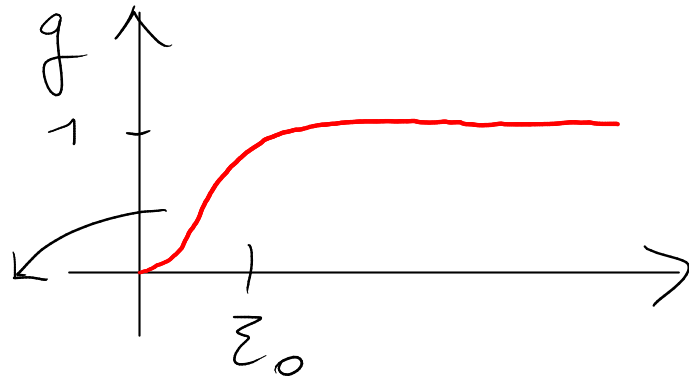
medio raggio



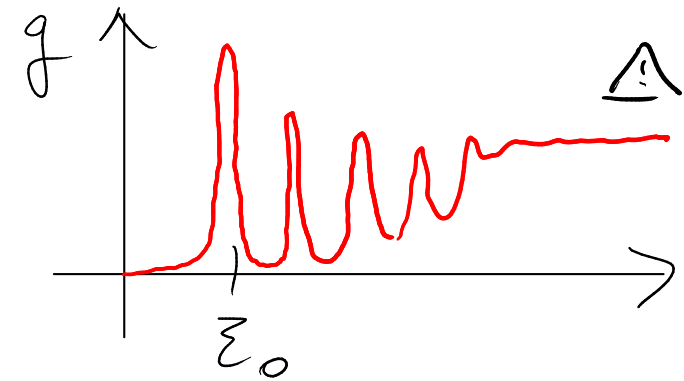
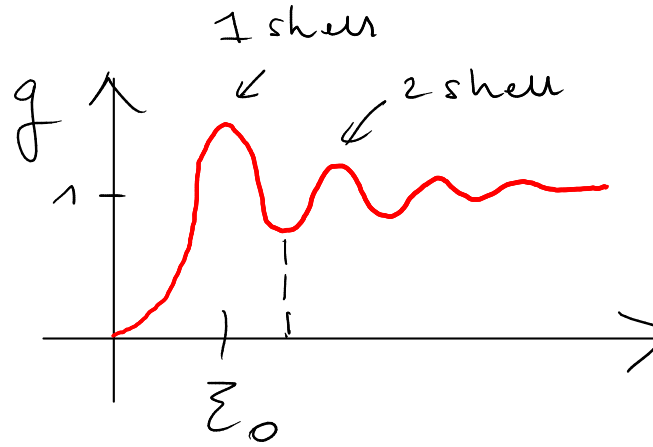
cristallo

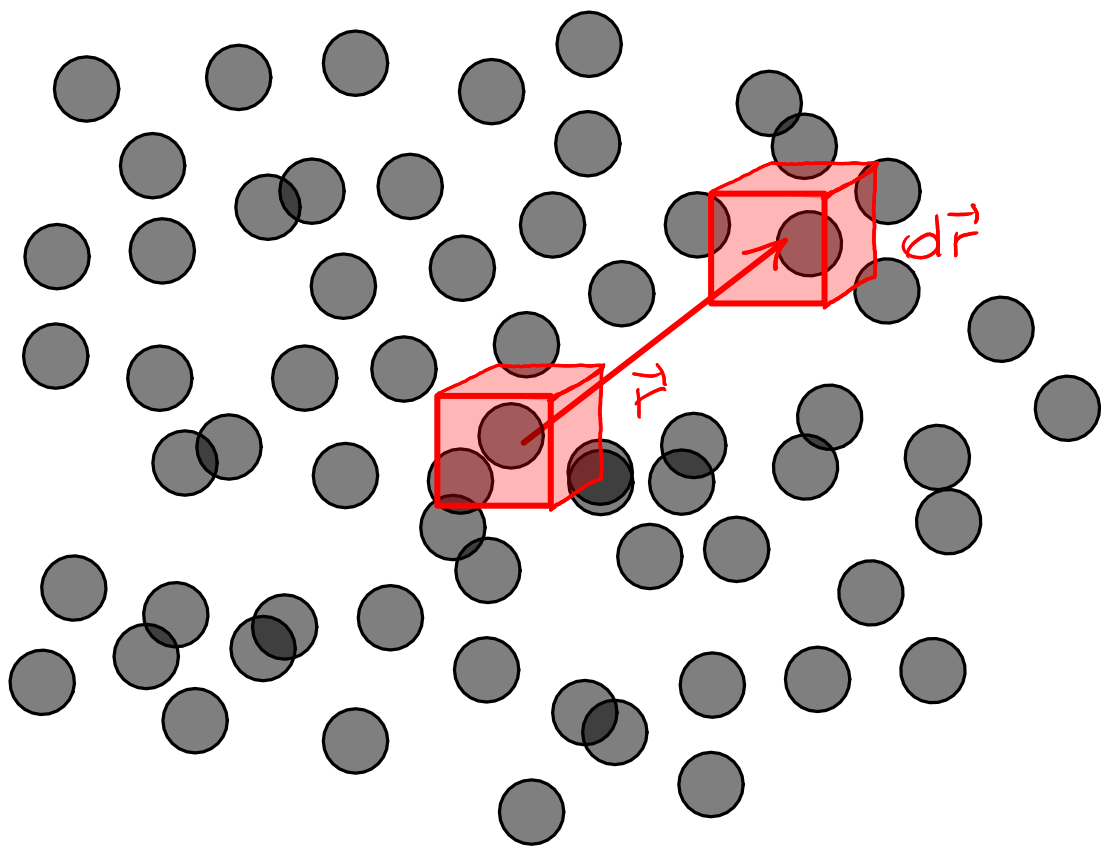


volume escluso



lunghezza microscopica





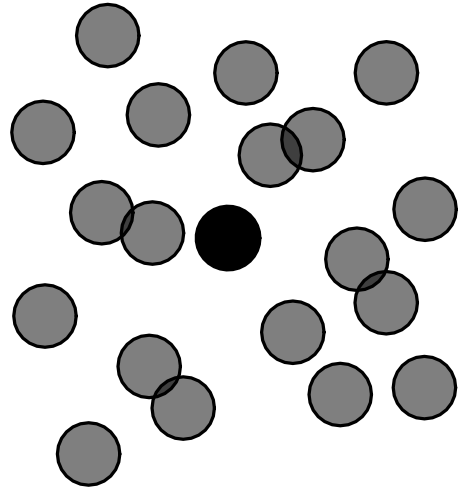
Funzione di correlazione della  
densità microscopica  $\hat{\rho}$

$$\hat{\rho}(\vec{r}) = \sum_{i=1}^N \delta(\vec{r} - \vec{r}_i)$$

$$\Rightarrow G(\vec{r}) \rightarrow G(x)$$

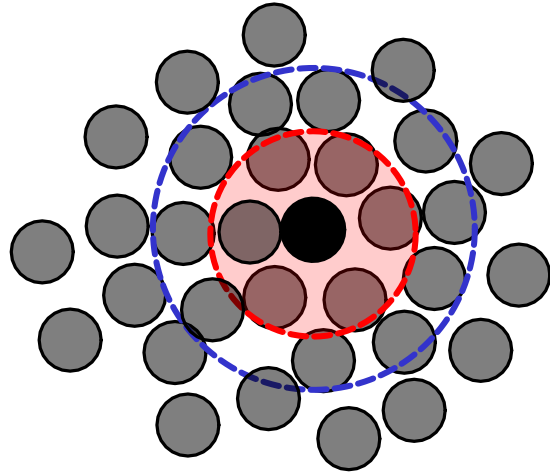
gas

corfo



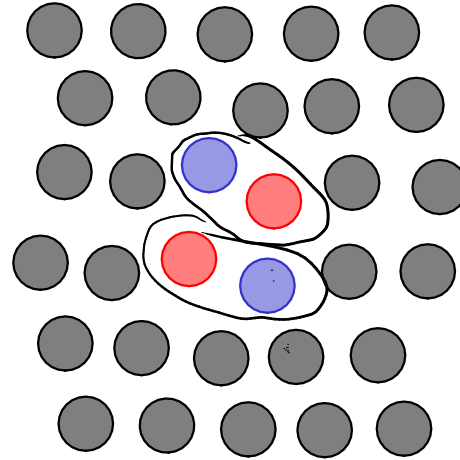
liquido

$\xi \approx \xi_0 \rightarrow$  medio



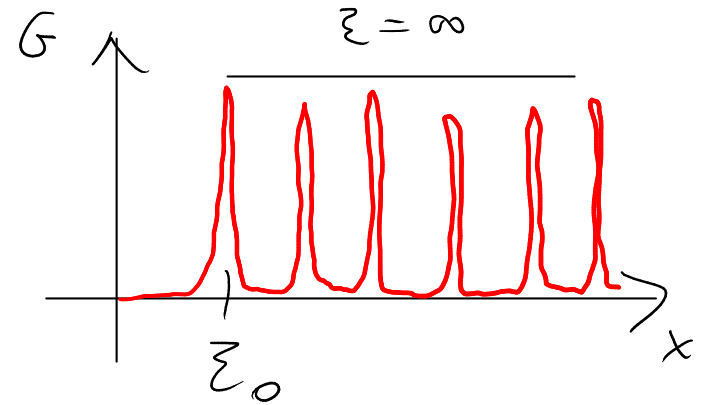
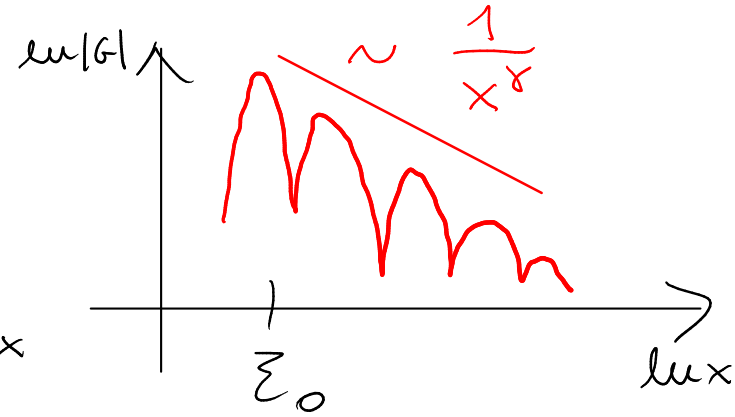
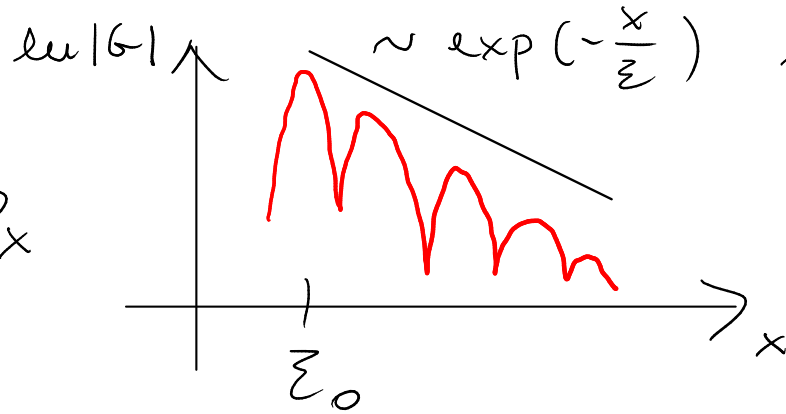
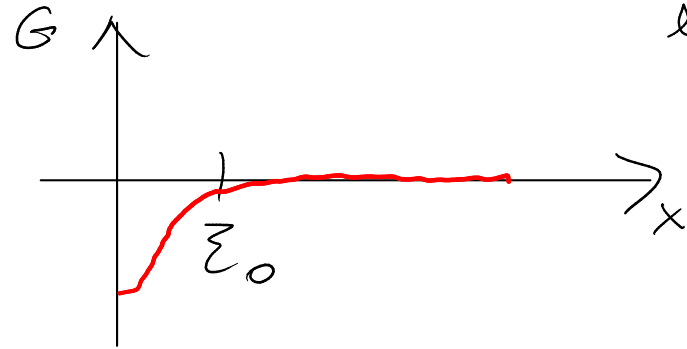
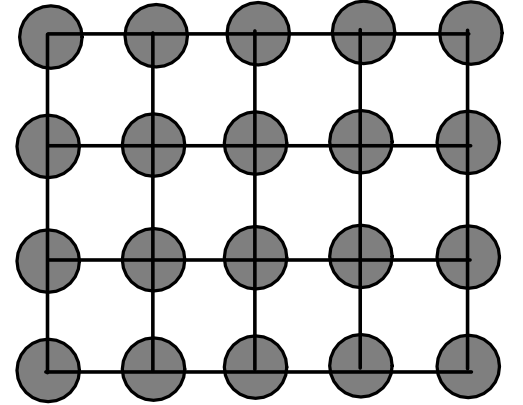
cristallo 2d

quasi - lungo



cristallo

lungo

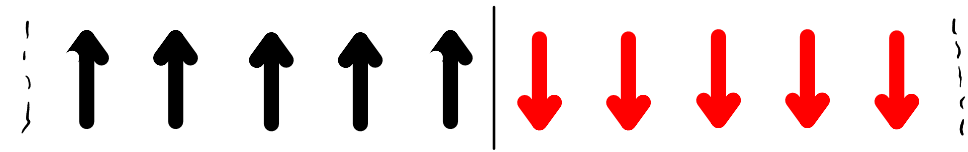
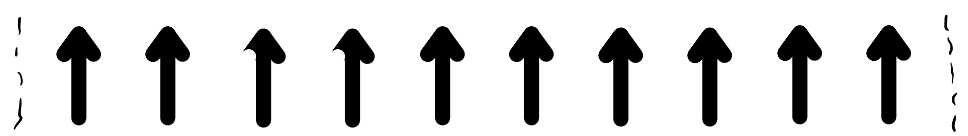


$\xi =$  lunghezza di correlazione

# ORDINE E DIMENSIONALITÀ

<sup>130-140</sup> Peierls, Landau: in 1d non c'è ordine a lungo raggio  
dipende se simmetria **discreta** o **continua**

1) **Spins 1d**, no campo esterno, N spins, PBC  $\Rightarrow$  Ising  $\sigma_i = \pm 1$



interfaccia

$$H = - \sum_{\langle ij \rangle} J \sigma_i \sigma_j \quad J > 0 \text{ ferromagnetica}$$

$$F = -NJ$$

$$\Delta E = 2J > 0$$

$$\Delta S = k_B \ln N$$

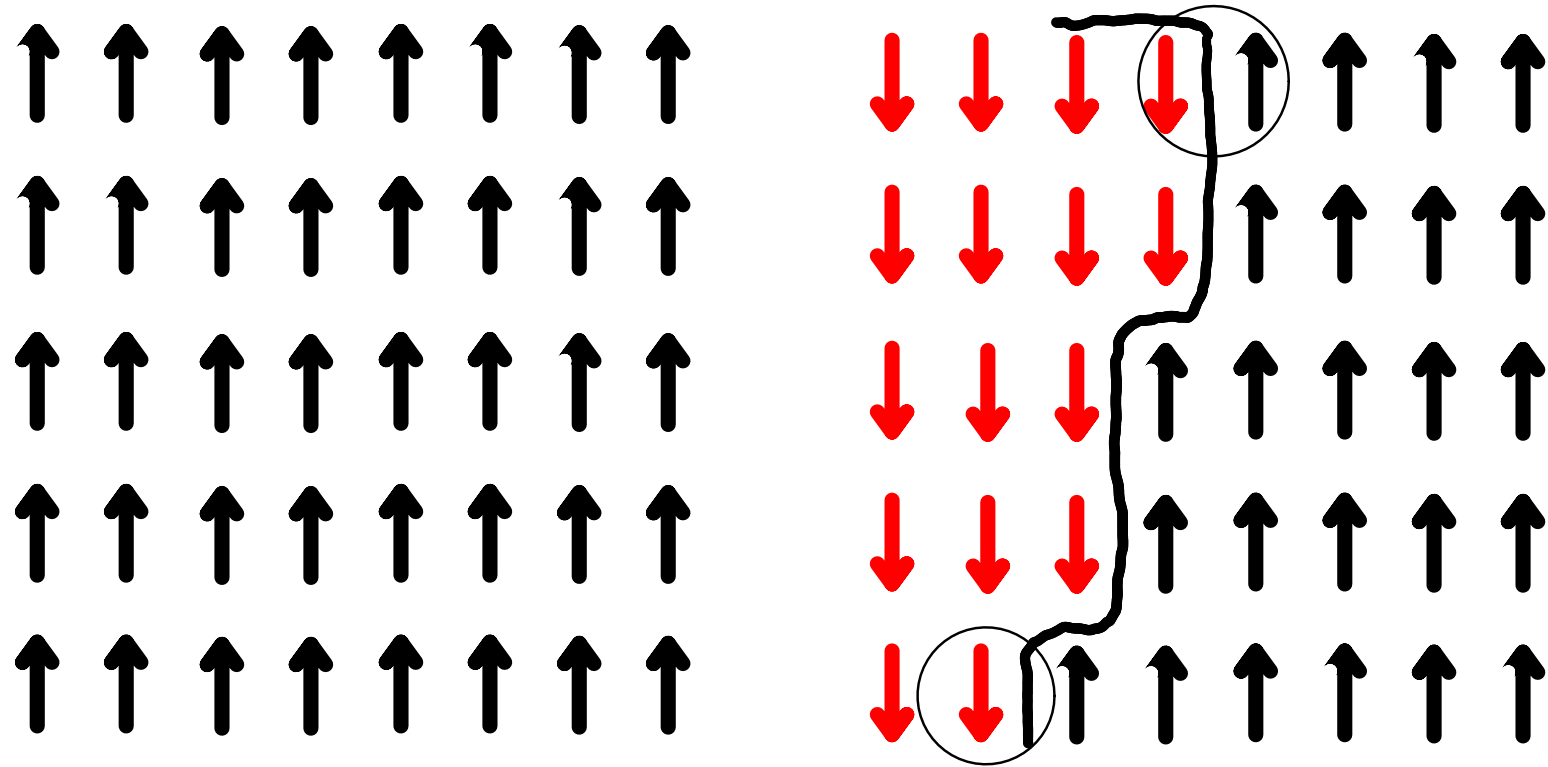
$$\Delta F = 2J - k_B T \ln N$$

$$\forall T \exists N \text{ t.c. } \Delta F < 0$$

$\Rightarrow$  fase ferromagnetica non è stabile

$\Rightarrow$  NO ORDINE A LUNGO RAGGIO

2) Spins 2d, no campo esterno, N spins, PBC  $\Rightarrow$  Ising  $\sigma_i = \pm 1$



$$H = - \sum_{\langle ij \rangle} J \sigma_i \sigma_j \quad J > 0$$

$n$  coppie di spins sull'interfaccia

$z$  numero di coordinazione

$$\Delta E = 2Jn$$

$$\Delta S = k_B \ln [(z-1)^n]$$

$$\Delta F = [2J - k_B T \ln(z-1)] \cdot n$$

$$T_c = \frac{2J}{k_B \ln(z-1)} \approx 1.82 \frac{J}{k_B}$$

$T > T_c$  : se  $n \rightarrow \infty$ ,  $\Delta F \rightarrow -\infty$

fase paramagnetica

$T < T_c$  : fase ferromagnetica

$\Rightarrow$  ORDINE A LUNGO RAGGIO POSSIBILE IN 2D



1941: Kramers-Wannier duality  $T_c = 2.269 J/k_B$

1943: Onsager prima soluzione esatta del modello di Ising 2d

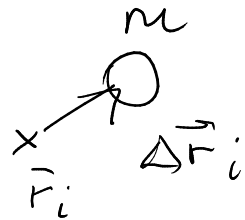
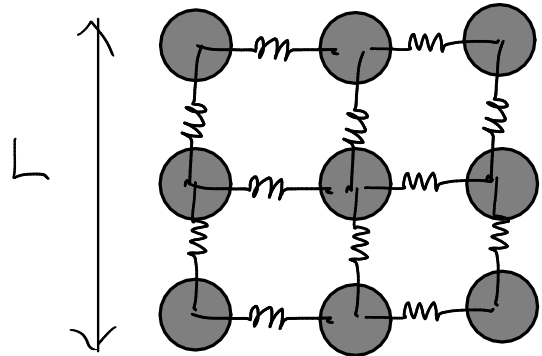
1953: Kac & Ward metodo combinatorio

Lower critical dimension :  $d=1$  (simmetria discreta)

3) Sistema di  $N$  particelle, simmetria continua, PBC

Vibrazioni armoniche

Spostamento quadratico medio



$$\langle |\Delta \vec{r}|^2 \rangle = \left\langle \frac{1}{N} \sum_{i=1}^N |\Delta \vec{r}_i|^2 \right\rangle$$

Modi normali :  $D(\omega)$

$$g(\omega) \sim \omega^{d-1} \quad \sim \omega^2 \quad d=3$$

$$\langle |\Delta \vec{r}|^2 \rangle = \frac{d \cdot k_B T}{m} \int_{\omega_{\min}}^{\infty} d\omega \frac{g(\omega)}{\omega^2}$$

$$k_{\min} = \frac{2\pi}{L} \quad \omega_{\min} \approx \frac{k}{L} \quad \underline{\omega \text{ piccoli}}$$

$$\sim \int_{\frac{k}{L}}^{\infty} d\omega \omega^{d-3}$$

$$\left. \begin{array}{l} d \geq 3 : \langle |\Delta \vec{r}|^2 \rangle \rightarrow \text{cost} \\ d = 2 : \langle |\Delta \vec{r}|^2 \rangle \sim \ln L \\ d = 1 : \langle |\Delta \vec{r}|^2 \rangle \sim \frac{1}{L} \end{array} \right\} \rightarrow \infty \text{ se } L \rightarrow \infty$$

$\Rightarrow$  NO ORDINE LUNGO RAGGIO in  $d=1,2$

160. Hohenberg, Mermin, Wagner

Sotto ipotesi abbastanza generali sulla natura delle interazioni e dei costituenti elementari, sistemi con simmetria continua non possiedono ordine a lungo raggio in 1d e 2d

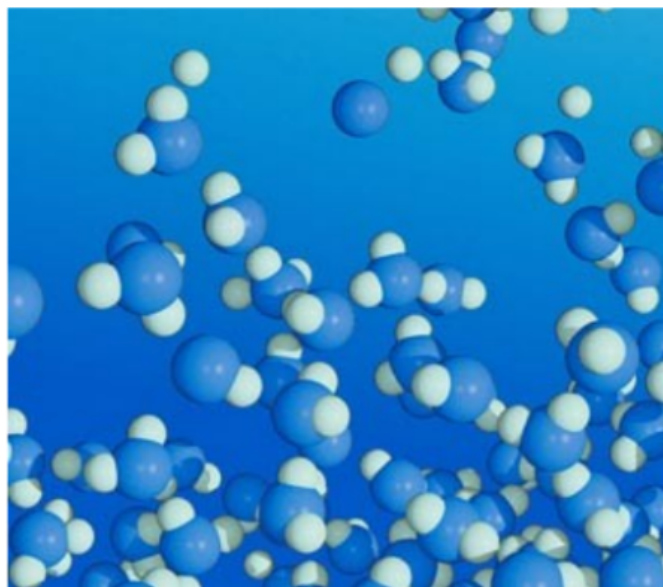
Lower critical dimension: 2 (simmetria continua)

In 2d: ordine quasi-lungo raggio

MATERIA CONDENSATA DURA E SOFFICE

Scala atomica

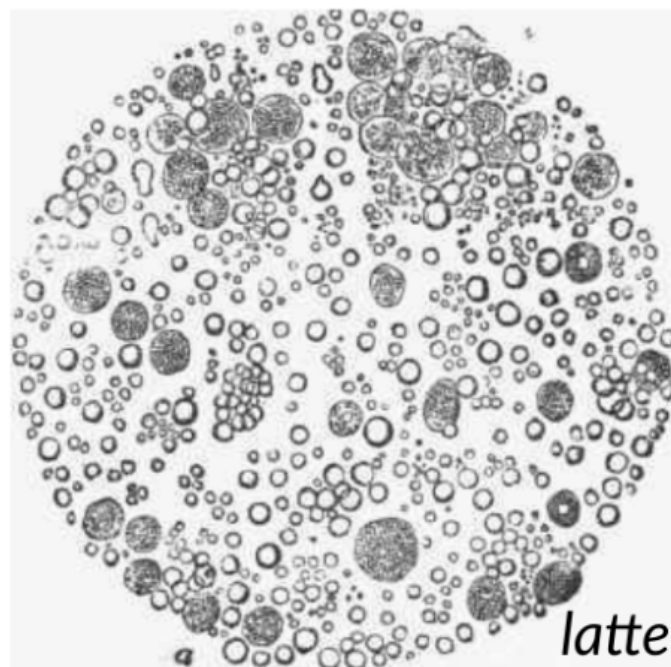
$10^{-10}$  –  $10^{-9}$



DURA

Scala mesoscopica

$10^{-7}$  –  $10^{-5}$



SOFFICE

Scala macroscopica

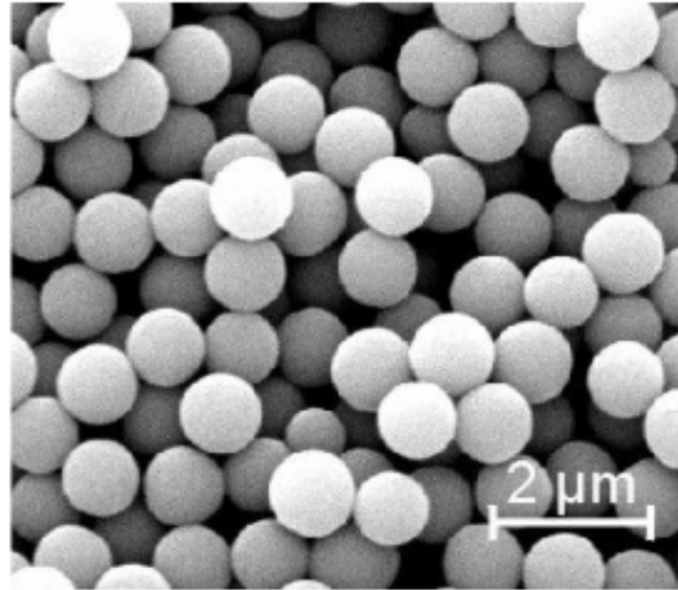
$10^{-2}$  – 100



Lunghezza  
[m]

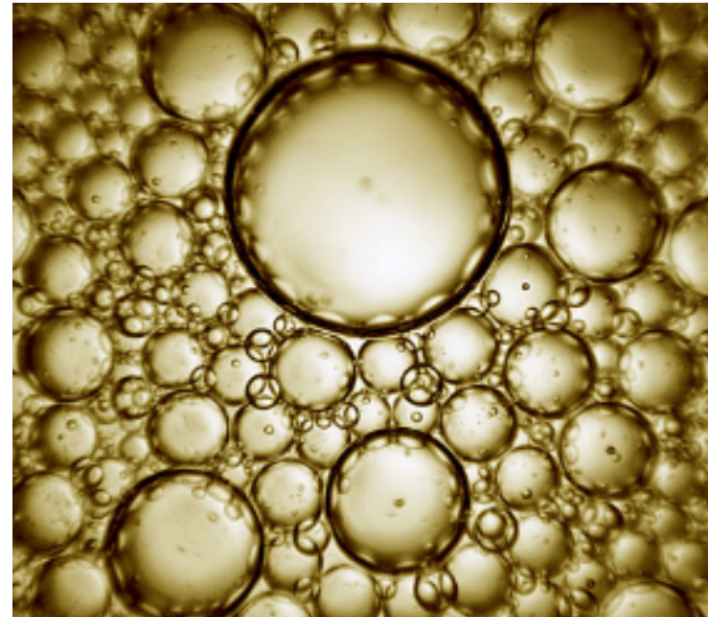


PMMA



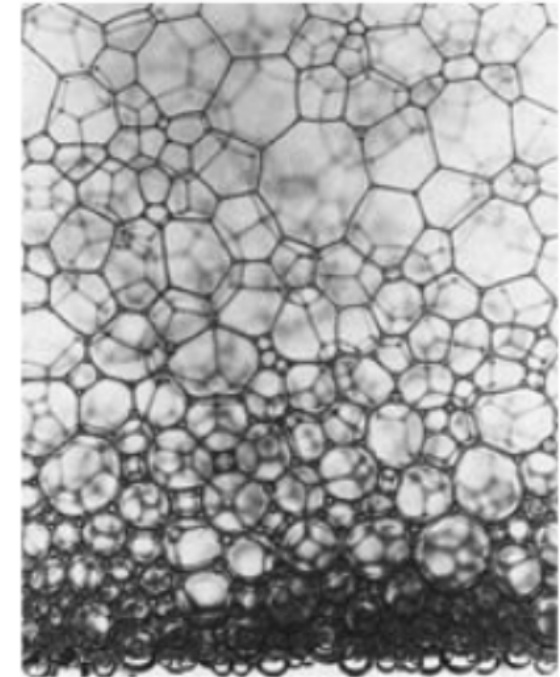
SOSPENSIONE  
COLLOIDALE

es.: inchiostro  
pittura



EMULSIONE

es.: maieuese  
latte



SCHUMA

es.: estivatore

SOLIDO  
elasticità

FLUIDO  
viscosità



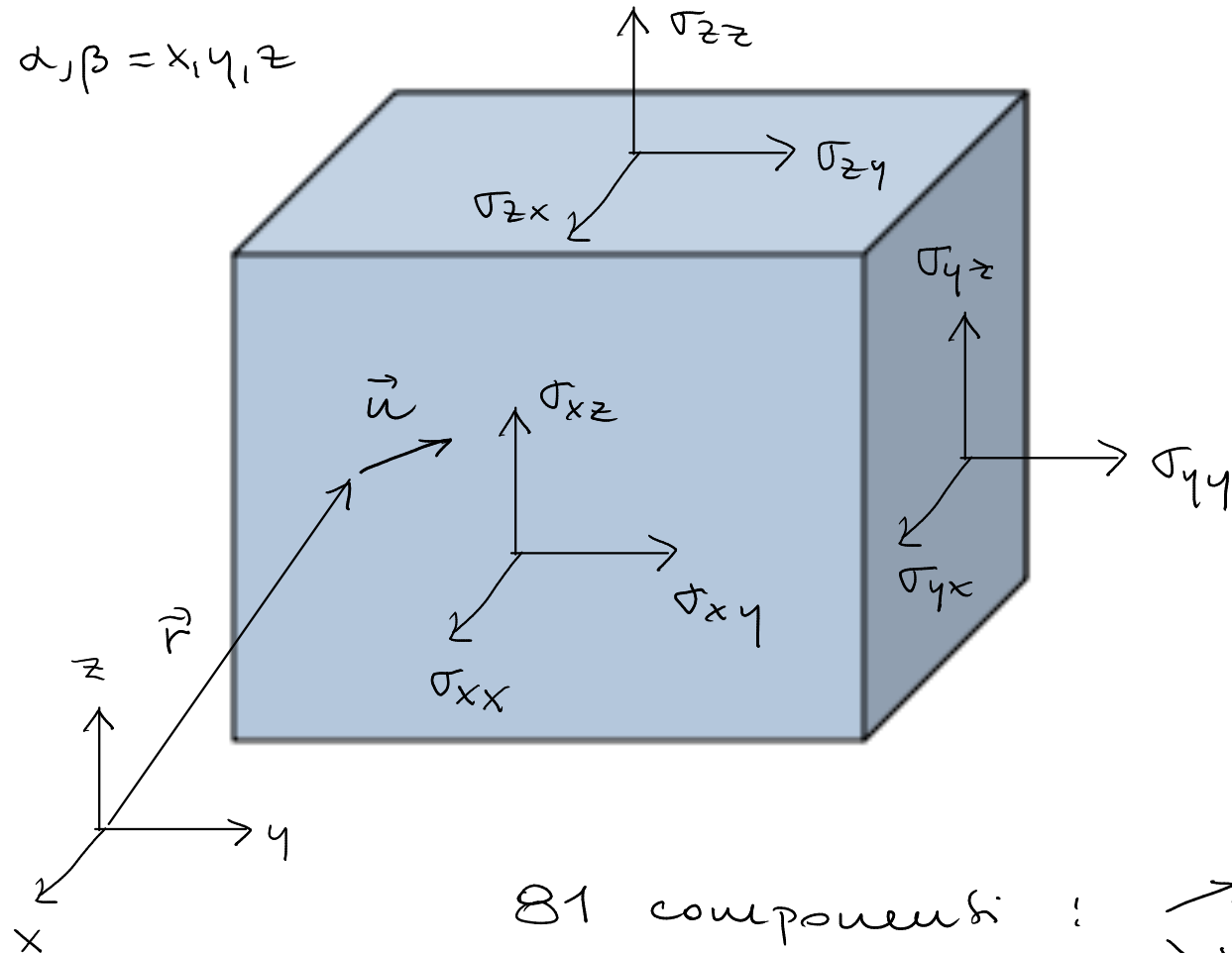
visco - elasticità

LIQUIDI

MATERIA SOFFICE

# ELASTICITÀ

Sforzo = modulo  $\times$  deformazione  $\Rightarrow$  solido hookiano  $F = k \Delta x$   
 $F/A$   $SI: Pa$  adimensionale



Sforzo:  $\sigma_{\alpha\beta}$  simmetrico  $\alpha \leftrightarrow \beta$

Deformazione:  $\gamma_{\alpha\beta} = \frac{\partial u_\alpha}{\partial r_\beta}$   
 $\rightarrow \frac{1}{2} \left( \frac{\partial u_\alpha}{\partial r_\beta} + \frac{\partial u_\beta}{\partial r_\alpha} \right)$

Modulo elastico:  $C_{\alpha\beta\theta\delta}$  (costanti elastiche)

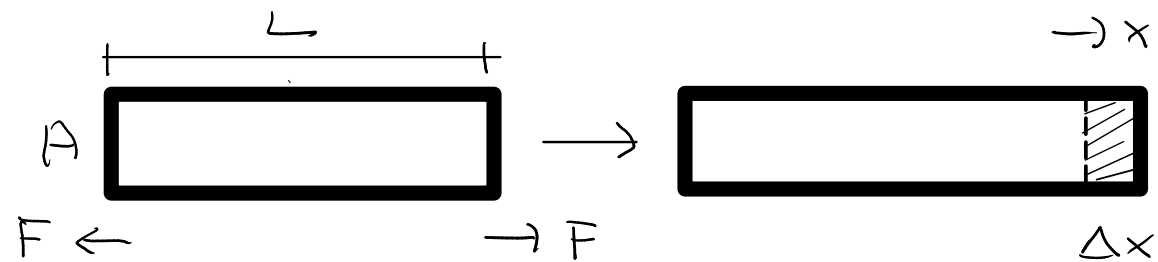
$$\sigma_{\alpha\beta} = \sum_{\theta\delta} C_{\alpha\beta\theta\delta} \gamma_{\theta\delta}$$

81 componenti:  $\begin{matrix} \nearrow \\ \searrow \end{matrix}$

2:  $\gamma, G$  omogeneo, isotropo

3: cristallo cubico

# 1) Sforzo di trazione



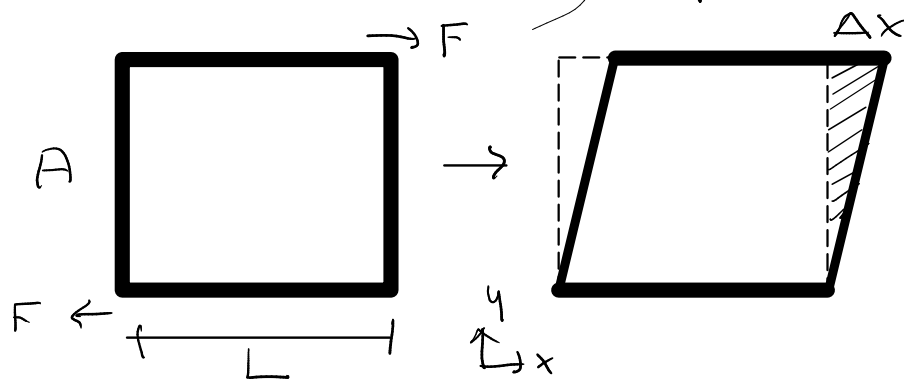
Sforzo:  $\frac{F}{A} = \sigma_{xx} = \sigma$

deformazione:  $\gamma_{xx} = \frac{\Delta x}{L} = \gamma$

$$\left. \begin{array}{l} \sigma = Y \gamma \\ \uparrow \\ \text{modulus di Young} \end{array} \right\}$$

Es: gomma  $Y \sim 0.1 - 0.01 \text{ GPa}$ , diamante  $Y \sim 10^3 \text{ GPa}$

# 2) Sforzo di taglio

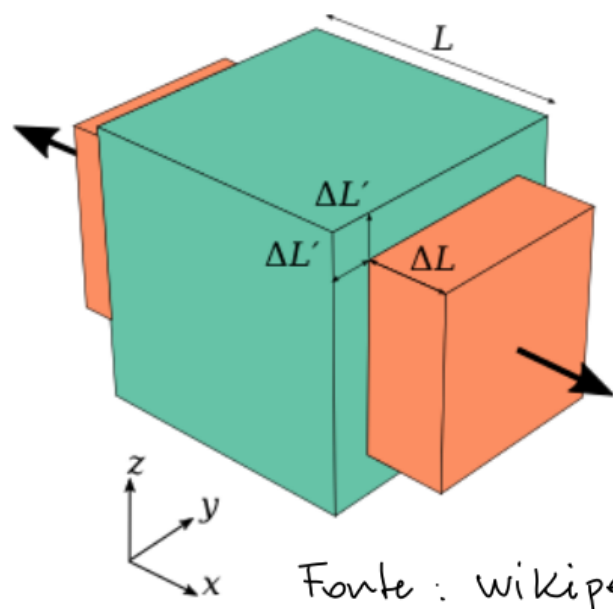


Sforzo:  $\tau_{xy} = \frac{F}{A} = \tau$

def.:  $\gamma_{xy} = \frac{\Delta x}{L} = \gamma$

$$\left. \begin{array}{l} \tau = G \gamma \\ \uparrow \\ \text{modulo di taglio} \end{array} \right\}$$

Es.: gomma  $6 \times 10^{-4} \text{ GPa}$  diamante  $500 \text{ GPa}$



Fonte: wikipedia "Poisson's ratio"

Coefficiente di Poisson:  $\nu = - \frac{\Delta L'}{\Delta L}$   $\rightarrow$  trasversale  $\rightarrow$  longitudinale

isotropi e omogenei:  $Y = 2G(1 + \nu)$

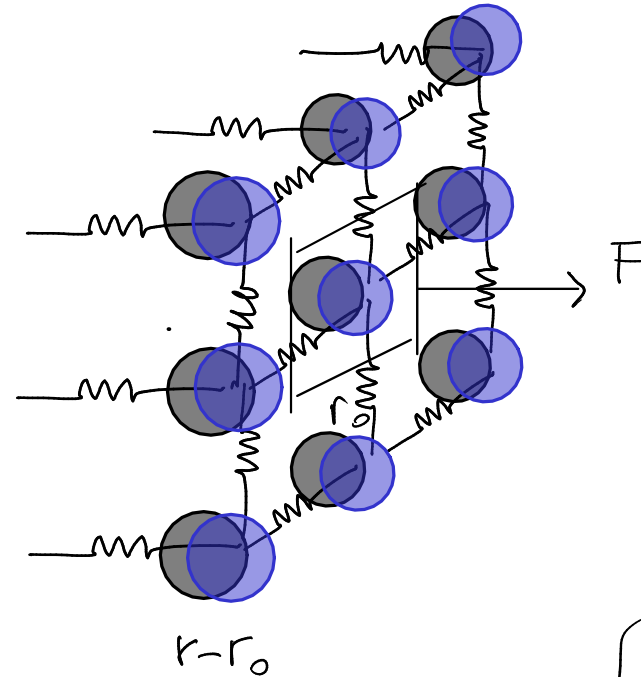
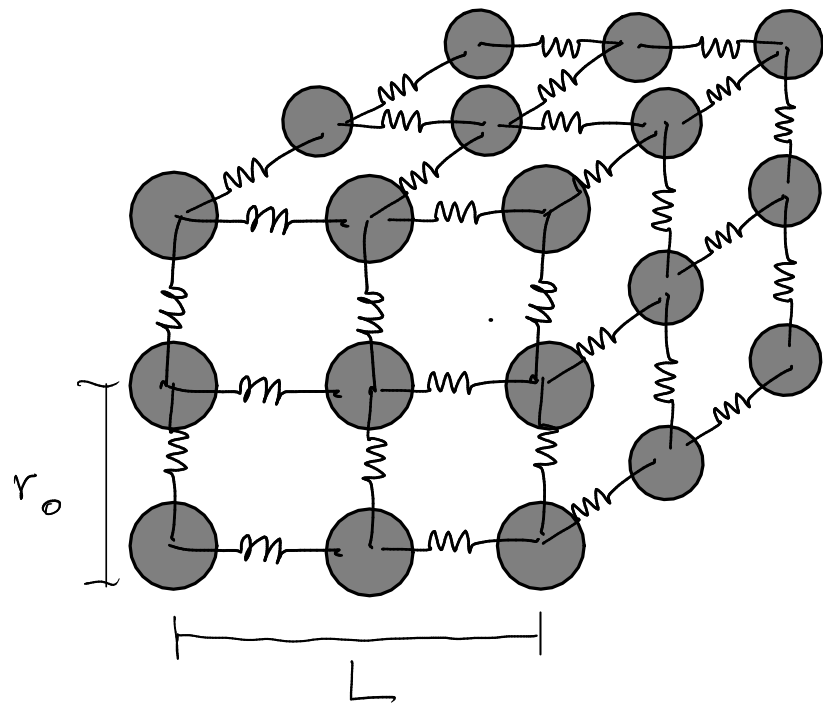
$$0 \lesssim \nu < 0.5$$

$\uparrow$   
es. sughero

$\uparrow$   
incomprimibile  
es. gomma



# Modello micro



Cf. "Effective interactions in condensed matter physics"  
C.N. Likos 2001 p. 274

- interazioni
- scala di lunghezza

Sforzo di trazione:

$$\sigma = Y \gamma$$

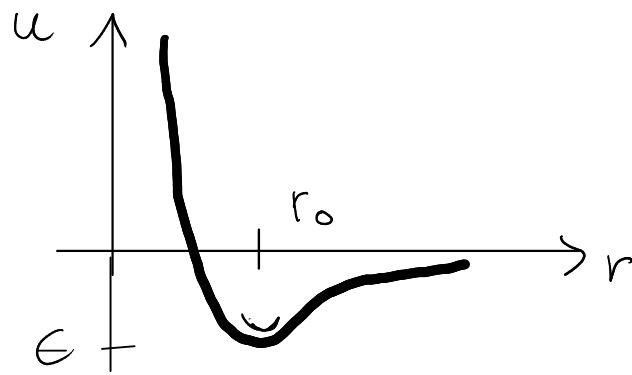
$$\sigma = \frac{F}{A} = \frac{k(r-r_0)}{r_0^2}$$

$$\gamma = \frac{\Delta x}{L} = \frac{r-r_0}{r_0}$$

$$\frac{k(r-r_0)}{r_0^2} = Y \frac{(r-r_0)}{r_0}$$

$$Y = \frac{k}{r_0} \sim \frac{\epsilon}{r_0^3}$$

$$[Y] = \frac{E}{V}$$



$$u(r) = \epsilon f\left(\frac{r}{r_0}\right)$$

$$u(r) \approx u(r_0) + \frac{1}{2} \frac{d^2 u}{dr^2} \Big|_{r_0} (r-r_0)^2$$

$$k = \frac{\epsilon}{r_0^2} f''(1) \sim \frac{\epsilon}{r_0^2}$$

$$Y \sim \frac{\epsilon}{r_0^3}$$

$$\frac{Y_{\text{softice}}}{Y_{\text{duro}}} \sim \left( \frac{\epsilon_{\text{softice}}}{\epsilon_{\text{duro}}} \right) \left( \frac{r_{0,\text{duro}}}{r_{0,\text{softice}}} \right)^3$$

materia dura :

$$r_0 \sim 10^{-10} \text{ m}$$

$$E \sim 100 k_B T$$

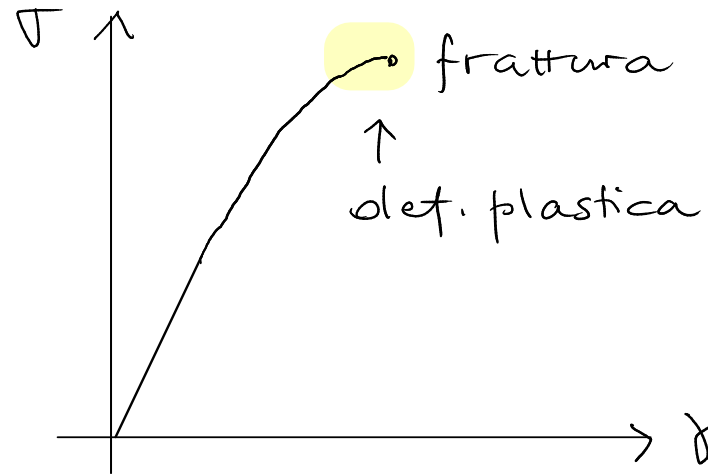
materia soffice:

$$r_0 \sim 10^{-6} \text{ m}$$

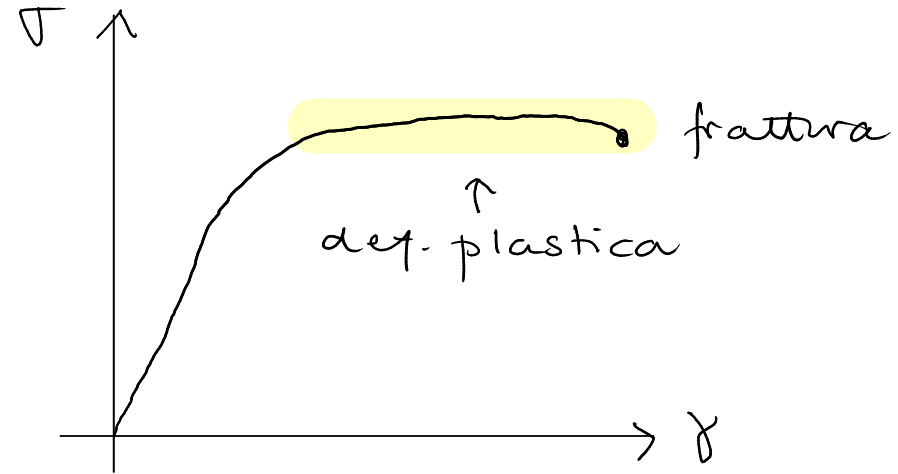
$$E \sim 10 k_B T$$

$$\frac{Y_{\text{soffice}}}{Y_{\text{dura}}} \sim 10^{-1} \times \left( \frac{10^{-12}}{10} \right) \sim 10^{-13} !!$$

fragili



duttili



**Brittle Fracture**

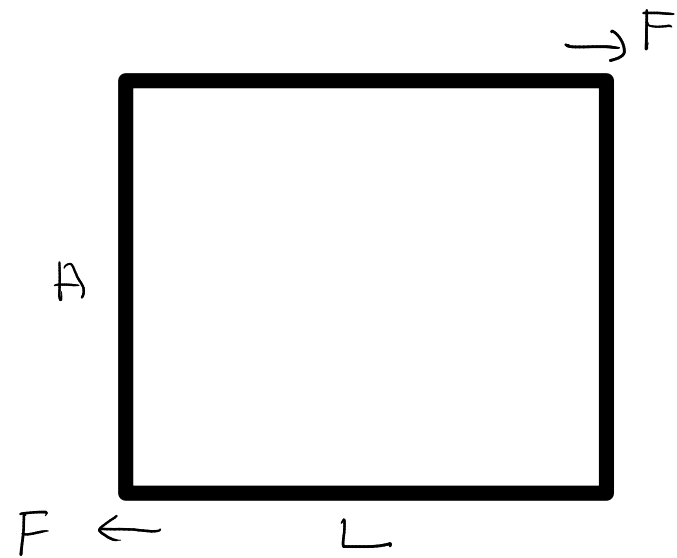


**Ductile Fracture**

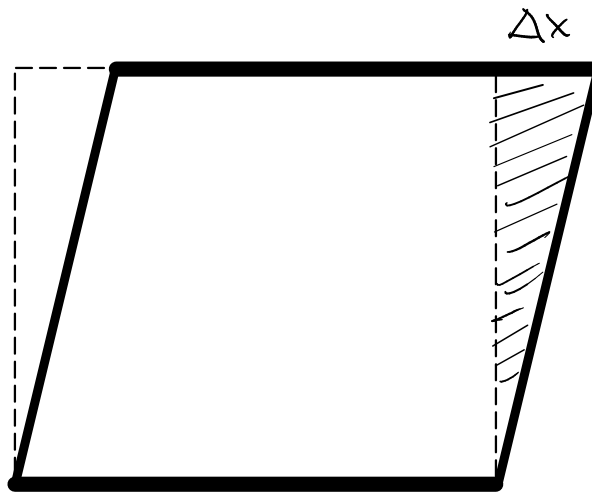


# VISCOSITÀ

Hooke : Sforzo  $\sim$  deformazione  
equilibrio

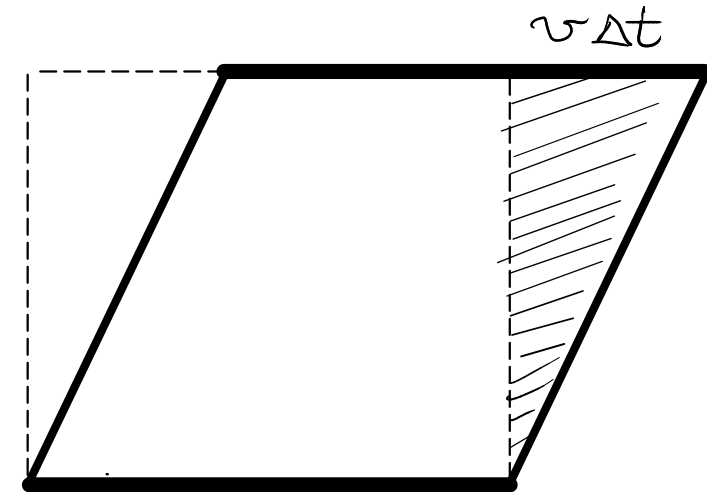


$$\sigma = \frac{F}{A}$$



$$\gamma = \frac{v \Delta t}{L}$$

Sforzo  $\sim$  tasso di deformazione  
Stazionario



$$\dot{\gamma} = \frac{\gamma}{\Delta t} = \frac{v}{L}$$

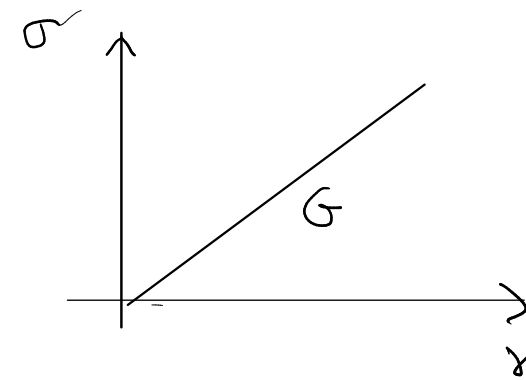
Fluido Newtoniano :  $\sigma = \eta \dot{\gamma}$       $\eta = \text{viscosità}$      SI : Pa·s

ES. : H<sub>2</sub>O @ T<sub>amb</sub>  
 $\eta \sim 10^{-3}$  Pa·s

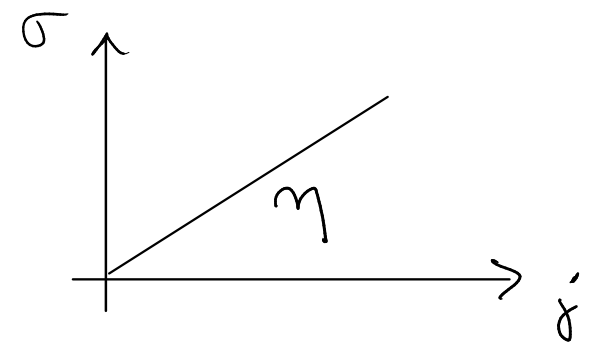
T  $\approx$  90°C  
 $\eta \sim 10^{-4}$  Pa·s

Miele  
 $\eta \sim 1$  Pa·s

Liquido @ T<sub>g</sub>  
 $\eta \sim 10^{12}$  Pa·s

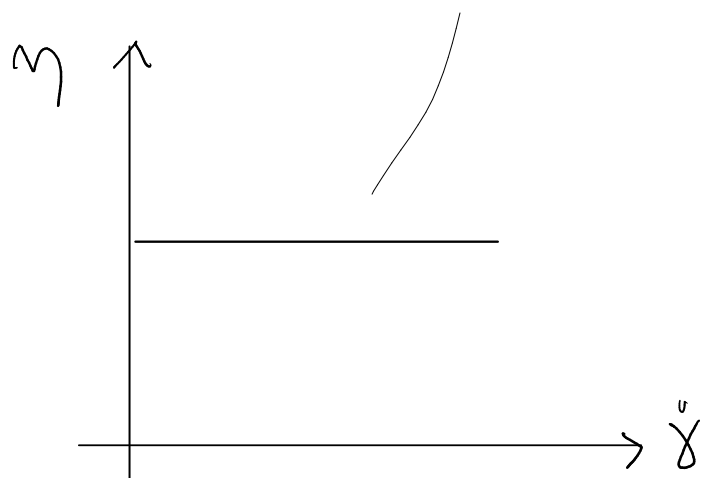
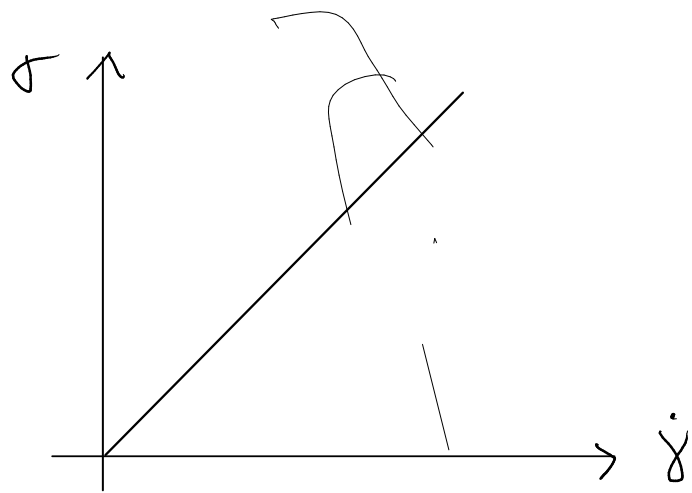


Hooke

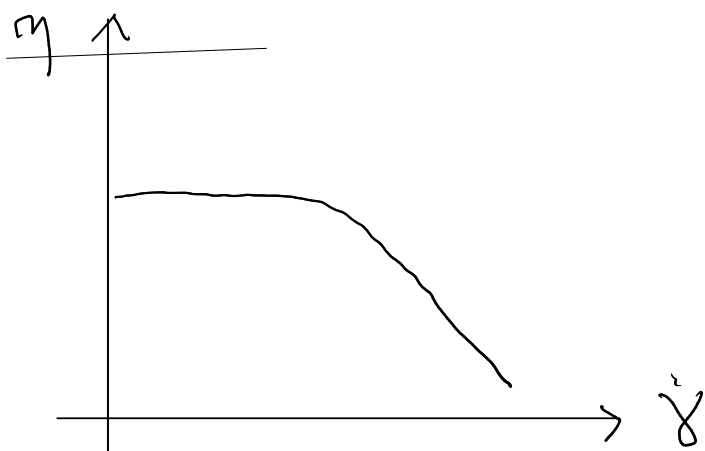
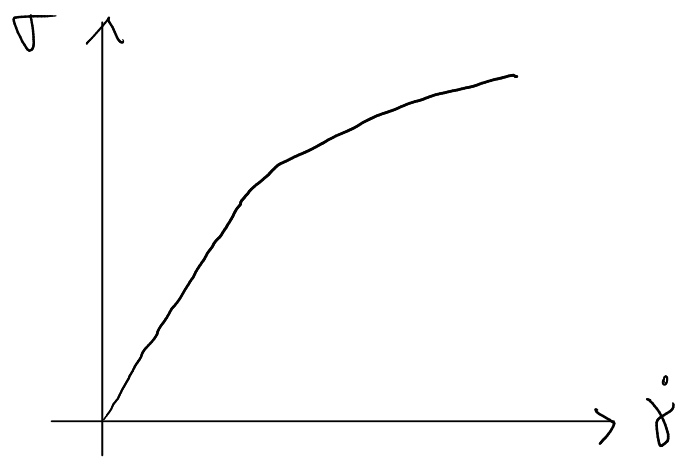


Newton

$$\sigma = \eta(\dot{\gamma}) \dot{\gamma}$$

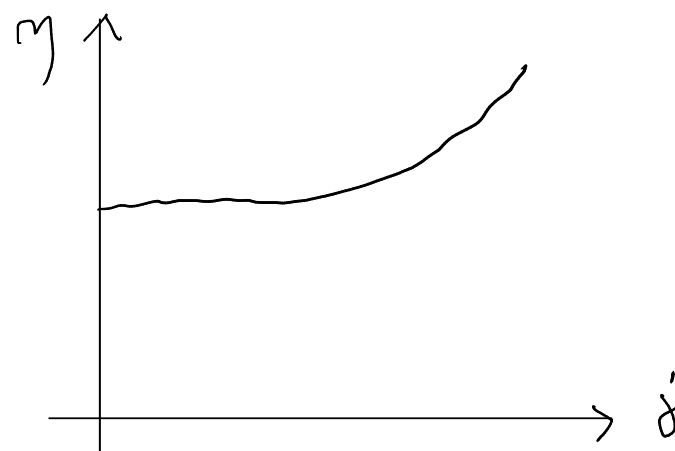
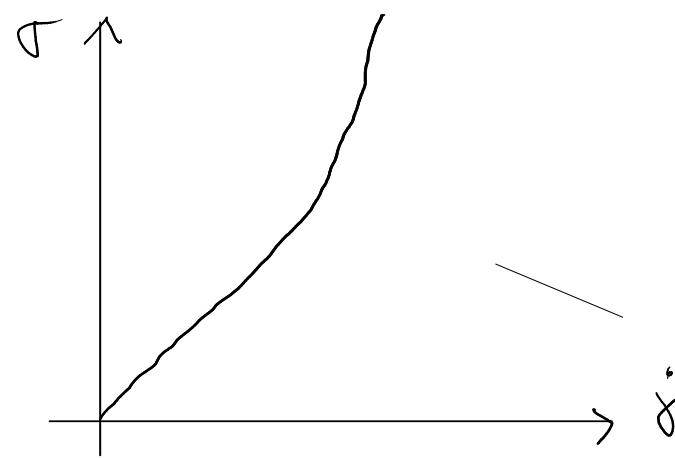


fluids Newtoniani



assottigliamento al taglio

shear thinning

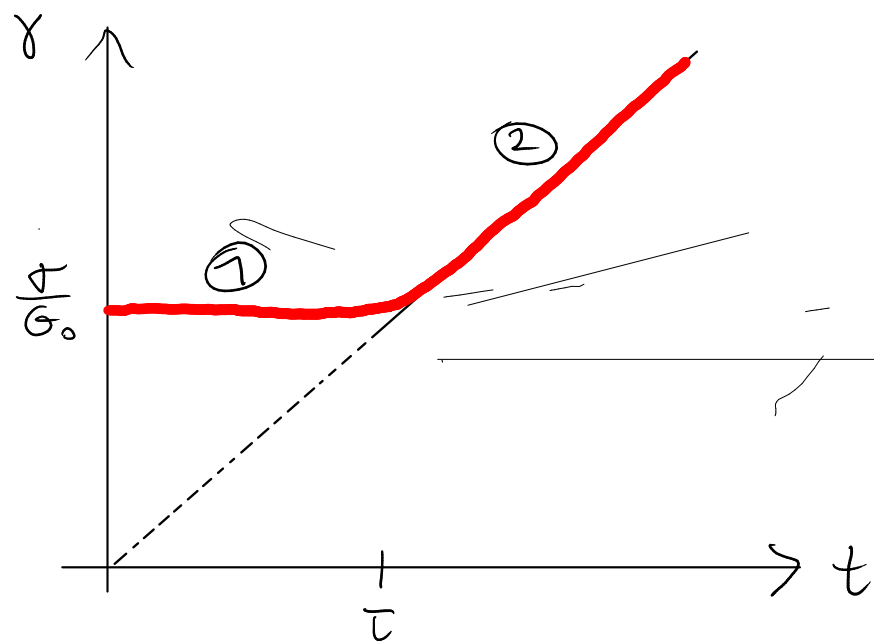


ispessimento al taglio

shear thickening

fluids non-Newtoniani

# VISCO - ELASTICITA'



Applico sforzo a  $t=0$

$$\left\{ \begin{array}{l} \sigma = G_0 \gamma \quad (1) \quad G_0 = \text{modulo istantaneo di taglio} \\ \sigma = \eta \dot{\gamma} \quad (2) \end{array} \right.$$

$\tau$  = tempo di rilassamento

Modello di Maxwell:

$$\dot{\gamma} \cdot \tau = \frac{\sigma}{G_0} \rightarrow \frac{\sigma}{\eta} \tau = \frac{\sigma}{G_0} \Rightarrow \eta = G_0 \tau$$

Es.:  $G_0 \sim 10^9 \text{ Pa}$

$\tau \sim 10^{-12} \text{ s}$

$\eta \approx 10^9 \text{ Pa} \times 10^{-12} \text{ s} \approx 10^{-3} \text{ Pa}\cdot\text{s}$

